



Design and Construction of a Secondary Magnetorheological Suspension System to Mitigate the Shocks and Vibrations Transmitted to Sensitive Payloads in Commercial Vehicles

ARTICLE INFO

Article Type
Original Research

Authors
Samadani Agdam S.S,¹
Jahani K,^{2*}
Shabgard M.M,³

How to cite this article

Samadani Agdam S S, Jahani K, Shabgard M M. Design and Construction of a Secondary Magnetorheological Suspension System to Mitigate the Shocks and Vibrations Transmitted to Sensitive Payloads in Commercial Vehicles. Modares Mechanical Engineering. 2022;22(01):1-13.

ABSTRACT

The aim of this research is to develop a semi-active secondary suspension system equipped with magnetorheological dampers to reduce the amplitude of vibrations and shocks to sensitive payloads in the cargo section of road trucks. First, a double-ended magnetorheological damper was modeled, designed, and built for use in a secondary suspension system of light trucks. Next, a pallet with a secondary suspension system consisting of four magnetorheological dampers was constructed to be installed on the load side of the light truck. Then, the behavior of the system was examined by testing it by passing the vehicle on the speed-bump profile. By performing dynamic tests with harmonic excitation on the damper, the results showed that the maximum damping force with the electric current of 2 Amp is increased 11.6 times compared to 0 Amp. Furthermore, by using the forces obtained from the Spencer model in predicting the dynamic behavior of the damper with an average relative error of %1.49 compared to the force obtained from the experimental test and implementing the two-dimensional model of the half-truck, the performance of the system in passing the speed-bump profile was investigated. The results of simulations and experimental tests showed that with increasing electric current intensity from 0 to 2 Amp, the maximum amplitudes of the sensitive payload decreased in passing the speed-bump %43.6 and %32.4 in simulations and experimental tests compared to the situation without the secondary suspension system respectively.

Keywords Mitigation of Shocks and Vibrations, Magnetorheological Damper, MR Fluid, Sensitive Payloads, Secondary Suspension System

CITATION LINKS

^{1,2}Department of Mechanical Engineering, University of Tabriz, Tabriz, Iran

³Department of Manufacturing Engineering, University of Tabriz, Tabriz, Iran

*Correspondence

Address: Department of Mechanical Engineering, University of Tabriz, Tabriz, Iran. P.O.B 516616471
ka_jahani@tabrizu.ac.ir

Article History

Received: March 31, 2021

Accepted: July 12, 2021

ePublished: November 14, 2022

- [1] Electrorheological fluids and magnetorheological suspensions. [2] Design and simulation of active and semi-active cab suspensions... [3] Nondeterministic analysis of a four-wheeled model vehicle traversing... [4] Control of mechatronic semi-active vehicle... [5] A Review on Structural Configurations of Magnetorheological Fluid... [6] Design and Evaluation of a Magnetorheological Damper... [7] Semiaactive cab suspension control for semitruck applications. [8] A new vibration isolation bed stage with magnetorheological dampers... [9] An evaluation of magneto rheological dampers for controlling gun recoil dynamics. [10] A seat suspension with a rotary magnetorheological damper... [11] A magnetorheological damper with bifold valves for shock and vibration mitigation. [12] A novel double-piston magnetorheological damper for space truss structures... [13] Performance tests and mathematical model considering magnetic saturation... [14] Design and analysis of magnetorheological dampers for train suspension. [15] Force-derivative feedback semi-active control of base-isolated buildings... [16] Experimental study of the semi-active control of building structures... [17] Bouc-Wen model parameter identification for a MR fluid damper... [18] Preparation of magnetorheological fluids using different carriers and detailed study on their properties. [19] Experimental Study of the Effects of Iron Particles Size on Damping Force and Energy Dissipation... [20] Optimal control of gun recoil in direct fire using magnetorheological absorbers. [21] Experimental validation of a magnetorheological... [22] Study on MR semi-active suspension system... [23] Fluid mechanics. [24] The vibrations induced by surface irregularities... [25] Design, fabricate and testing the novel Magnetorheologic damper involving stabilizer nanoparticles of silicone. [26] Magnetorheological fluid dampers... [27] Identification of Parameters of Spencer Model for a Double-Ended Magnetorheological Damper with Different Spherical Iron Carbonyl Powder Sizes. [28] Phenomenological model for magnetorheological dampers.

وارد شدن بارهای دینامیکی با دامنه‌ها و فرکانس‌های مختلف به خودرو می‌شود. بعنوان مثال، میزان ارتعاشات وارد به یک خودروی باری ۹ تا ۱۶ برابر ارتعاشات خودروهای سواری است^[۱]. در طی سالیان گذشته طراحان سعی کرده‌اند که در مرحله اول با طراحی سیستم‌های مناسب تعلیق اولیه برای کل خودرو، دامنه این بارهای دینامیکی منتقل به سرنشینان و محموله‌های حساس باری را کاهش دهند و در مرحله بعدی با طراحی سیستم‌های جداساز ارتعاشی (ثانویه) مناسب برای صندلی‌ها و همچنین ضربه‌گیرهای مناسب در بسته‌بندی محموله‌های باری، باز هم انتقال بارهای دینامیکی به سرنشینان و محموله‌های باری را تا جای امکان کاهش دهند. در خودروهای باری نظیر کامیون، دو قسمت مهم که در معرض شوک‌های ناگهانی با دامنه بالا و لرزش‌های وارد از طرف جاده قرار دارند، کابین راننده و کابین بار می‌باشند. کابین راننده به دلیل قرار گرفتن در ارتفاع بالاتر نسبت به سطح زمین، تحت زاویه رول و پیچ بیشتری نسبت به محل سرنشین خودروهای سواری شده و باعث افزایش حرکات جانبی و طولی این قسمت خودرو نیز خواهد شد^[۲]. وان دیوسن و همکاران نشان دادند که با بهینه‌سازی سیستم تعلیق خودروی کامیون، کیفیت راحتی رانندگی از طریق کاهش سفتی کمک‌فرنرهای خودرو در ارتعاشات ناشی از سطح جاده بسیار بهبود خواهد یافته^[۳]. فیشر و آیزمن گزارشی را ارائه دادند که نشان می‌داد یک سیستم تعلیق نیمه فعال و فعل به ترتیب می‌توانند میزان ارتعاشات را ۲۰٪^۴ و بیش از ۳۰٪، کاهش دهند^[۴].

امروزه استفاده از دمپرهای مگنتورئولوژیکال (MR) در دنیا در خودروهای لوکس جاافتاده می‌باشد و استفاده از این تجهیزات در کامیون‌های نظامی، حمل و نقل، خودروها، قطار، سازه‌های ساختمان و برخی از تجهیزات پزشکی جدید مانند دستگاه‌های کمکی جراحی و اندام‌های مصنوعی نیز گزارش شده است^[۵,۶]. فلورینو و همکاران با طراحی و شبیه‌سازی یک سیستم تعلیق نیمه فعال مگنتورئولوژیکال برای قسمت کابین راننده خودروی باری بعنوان کمک‌فرنر قابل کنترل، بصورت تجربی آن را بر روی یک کامیون نصب و تست کردند. نتایج بدست آمده از تست و شبیه‌سازی سیستم تعلیق غیرفعال مگنتورئولوژیکال و نیمه فعال با کنترل کننده‌های کلاسیک، حاکی از بهبود راحتی خودرو، فرمان‌پذیری آن و کاهش دامنه ارتعاشات بود^[۷]. چایی و همکاران باهدف کاهش ارتعاشات و شوک‌های وارد جاده به مجروح و بهبود شرایط درمان در حین حمل بیمار با خودروی آمبولانس، مدلی از یک صفحه صلب به جای برانکارد و صندلی پزشک را به عنوان سیستم تعلیق ثانویه با دمپر مگنتورئولوژیکال یکسر متحرک ارائه و شبیه‌سازی نمودند. این نوع سیستم تعلیق با کنترلرهای کلاسیک، کاهش ۳۲٪ تا ۳۸٪ دامنه جابجایی عمودی و ۲۹٪ تا ۴۸٪ زاویه پیچ را نسبت به حالت غیرفعال نشان دادند^[۸]. با توجه به نوع کارایی، ظرفیت

طراحی و ساخت سیستم تعلیق ثانویه مگنتورئولوژیک برای کاهش ارتعاشات و شوک‌های وارد بر محموله‌های حساس خودروهای باری

سید صمد صمدانی اقدم

گروه مهندسی مکانیک، دانشکده فنی مهندسی مکانیک، دانشگاه تبریز، ایران

کمال جهان*

گروه مهندسی مکانیک، دانشکده فنی مهندسی مکانیک، دانشگاه تبریز، ایران

محمد رضا شبگرد

گروه مهندسی ساخت و تولید، دانشکده فنی مهندسی مکانیک، دانشگاه تبریز، تبریز، ایران

چکیده

هدف این مقاله، توسعه یک سیستم تعلیق ثانویه نیمه فعال مجهز به دمپرهای مگنتورئولوژیکال، جهت کاهش دامنه ارتعاشات و شوک‌های وارد به محموله‌های حساس در قسمت بار خودروهای باری جاده‌ای می‌باشد. در این راستا، ابتدا یک دمپر مگنتورئولوژیکال دوسر میله، جهت استفاده در سیستم تعلیق ثانویه کامیونت مدل‌سازی، طراحی و ساخته شد. در ادامه، با ساخت سه دمپر مشابه با دمپر تست شده، نسبت به ساخت پالت دارای سیستم تعلیق ثانویه متشکل از چهار دمپر مگنتورئولوژیکال جهت نصب بر قسمت بار یک وانت اقدام شد. سپس رفتار سیستم مذکور از طریق آزمایش آن با حرکت خودرو روی پروفیل سرعت گیر مورد بررسی قرار گرفت. پس از انجام آزمون‌های دینامیکی مربوط به تحریک هارمونیک بر روی دمپر، نتایج بدست آمده از عملکرد آن نشان داد که بیشینه نیروی میرایی دمپر در شدت جریان الکتریکی ۲ آمپر، نسبت به حالت (+) آمپر، بطور میانگین ۱۱/۶۲ برابر، افزایش داشته است. همچنین با استفاده از نتایج نیروی حاصل از مدل اسپنسر در پیش‌بینی رفتار دینامیکی دمپر با خطای نسبی میانگین ۱/۴۹٪ نسبت به نیروی حاصل از تست تجربی و تلقیق آن با مدل دوبعدی نصف خودروی باری، عملکرد مجموعه در عبور از پروفیل سرعت-گیر شبیه‌سازی شده و پاسخ‌های دینامیکی مورد بررسی قرار گرفتند. نتایج نشان دادند که با افزایش شدت جریان الکتریکی دمپرها از ۰ تا ۲ آمپر، بیشینه شتاب عمودی وارد به مرکز جرم محموله حساس هنگام عبور از دست انداز، در شبیه‌سازی نسبت به حالت بدون سیستم تعلیق ثانویه، ۴۳٪ و در تست‌های تجربی، ۳۲٪ کاهش یافته است.

کلیدواژه‌ها: کاهش دامنه ارتعاشات و شوک، میراکنندۀ مگنتورئولوژیکال، سیال MR، محموله حساس، سیستم تعلیق ثانویه

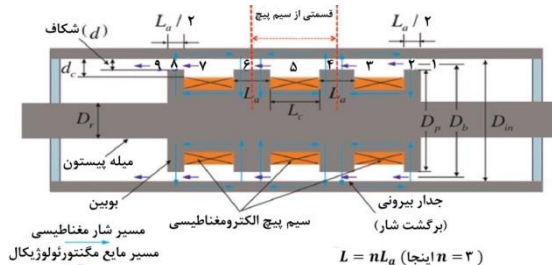
تاریخ دریافت: ۱۴۰۰/۰۱/۱۱

تاریخ پذیرش: ۱۴۰۰/۰۵/۲۱

*نویسنده مسئول: ka_jahani@tabrizu.ac.ir

۱- مقدمه

خودروهای باری جهت حمل بار از مبدأ تا مقصد معمولاً از جاده‌های گوناگون با سطح کیفی مختلف و ناهمواری‌های متنوع نظیر سرعت گیرها و دست اندازها عبور می‌کنند که این امر باعث



شکل ۱) شماتیک برشی از دمپر دوسر میله مگنتورئولوژیکال

متغیر روی سیال تأثیر گذاشته و ذرات پراکنده پودر آهن کربونیل در سیال MR را، براساس جهت شدت میدان مغناطیسی در یک چینش زنجیره‌ای قرار داده و سیال MR از سیال نیوتونی به غیرنیوتونی تبدیل می‌شود. این فرآیند با افزایش شدت میدان مغناطیسی و تغییر ویسکوزیتی سیال تقویت شده و با قطع شدت جریان الکتریکی از سیال غیرنیوتونی به حالت اولیه خود (سیال نیوتونی) بر می‌گردد. ظرفیت نیروی این نوع میراگر به ابعاد سیلندر، پیستون، شیارها، تعداد سیم پیچ‌ها، دور و قطر آنها بستگی دارد^[19].

جهت انسجام مبحث، روابط سیالاتی حاکم بر تخمین نیروی میرائی دمپر در اینجا به اختصار بیان می‌شود. روابط تفصیلی در مراجع^[19-23] ارائه شده است. مدل ریاضی که برای محاسبه مقدار کل نیروی میرایی (FD) دمپر مگنتورئولوژیکال، بکار برده شده، ترکیبی از نیروی غیرفعال ویسکوز دمپر (FV)، ناشی از افت فشارهای سیال داخل سیلندر و نیروی میرایی مستقیم دمپر (FMR)، ناشی از تنفس برشی تابع شدت جریان الکتریکی و تغییرات آن، است^[20]. از آنجاکه فاصله سیلندر و پیستون در مقایسه با طول فعال بین دو سیم پیچ بسیار ناچیز است، در معادلات نیرو، سیلندر و پیستون را می‌توان به عنوان دو صفحه موازی با یکدیگر در نظر گرفت که جریان سیال از آنها عبور می‌کند. نیروی میرایی از افت فشار داخل مجرأ محاسبه می‌شود. این نیرو بصورت مجموع نیروی مگنتورئولوژیکال نیمه فعال که تابعی از تنفس برشی سیال مگنتورئولوژیکی و نیروی فعال ویسکوزیتی سیال حامل است، نوشته می‌شود^[20]:

$$F_D = (F_{MR} + F_V) \operatorname{sgn}(V_p) \quad (1)$$

$$\Delta P_{MR} = \frac{4 L \tau_y}{d_{orifice}} = \frac{2 n L_a \tau_{MR}}{d} \Rightarrow F_{MR} = \Delta P_{MR} A_p = \frac{2 n L_a \tau_{MR} A_p}{d} \quad (2)$$

سرعت حرکت پیستون است. ΔP_{MR} ، افت فشار ناشی از حرکت سیال داخل سیلندر (تحت تأثیر مستقیم دمپر)، در اثر اعمال شدت جریان الکتریکی عامل نیروی دمپر مگنتورئولوژیکال خواهد بود. τ_{MR} تنفس برشی تسیلیم سیال مگنتورئولوژیکال، تابعی از چگالی میدان مغناطیسی(B) است.

به منظور محاسبه نیروی میرایی غیرفعال ویسکوز FV، بایستی به بررسی افت فشارهای تحت اثر ویسکوزیتی غیرفعال درسیستم پرداخته شود که عبارت‌اند از: افت فشار ویسکوز ناشی از عبور

نیروی میرایی و شرایط مکانی نصب، سه مدل اصلی از دمپرهای مگنتورئولوژیکال وجود دارند که عبارتند از: تک‌لوله‌ای، دو‌لوله‌ای و دوسر متحرک. با تغییر نوع و اندازه مجرای عبوری سیال، تغییر اندازه و محل کویل‌های الکتریکی، معمولاً مدل‌های متنوعی با ظرفیت نیروی میرایی متفاوت طراحی می‌گردد^[9-12]. سو و همکاران یک دمپر دوسر متحرک با پنج کویل الکتریکی در ابعاد بزرگ را، جهت بررسی دامنه ماکسیمم نیروی میرایی و ظرفیت اتفاق اثری از طریق تغییر تعداد کویل‌های فعال، طراحی و تست کردند^[13]. لائق و لیاوا، یک دمپر MR دوسر میله برای تعليق قطار را، طراحی، ساخت و آزمایش کردند. شبیه‌سازی با تلفیق مدل دمپر MR در تعليق ثانویه یک مدل کامل و سible نقلیه راه‌آهن را انجام دادند. نتایج نشان می‌دهد که تعليق نیمه فعال با دمپرهای MR توسعه یافته، می‌تواند کیفیت سواری مسافران را به طور قابل توجهی بهبود ببخشد^[14].

برای مدل سازی رفتار یک دمپر مگنتورئولوژیکال، مدل‌های توسعه یافته ریاضی تحت عنوان مدل‌های پارامتری و غیرپارامتری، وجود دارد^[15]. مدل‌های پارامتری دینامیکی، در واقع مجموعه‌ای از المان‌های خطی و غیرخطی ویسکوز، فنرهای خطی و غیرخطی می‌باشند. پارامترهای مدل بروزرسانی شده دمپر، جهت شناسایی و کنترل رفتار سیستم‌های ارتعاشی متشکل از چندین دمپر مگنتورئولوژیکال در شرایط مختلف کاری، مورد استفاده قرار می‌گیرد. برای این‌منظور، شناسایی بهینه‌ترین حالت پارامترهای ثابت و متغیر با جریان الکتریکی این مدل‌ها، در هر جریان و فرکанс، از مقایسه مدل ریاضی و نتایج تجربی با استفاده از تکنیک‌های حل و الگوریتم‌های بهینه‌سازی تخمین زده می‌شود^[11,16,17]. اسپنسر و همکارانش یک مدل پارامتری دینامیکی جدیدی جهت تخمین مناسب رفتار غیرخطی ذاتی دمپر، با بهبود مدل بوک-ون از طریق اضافه نمودن یک المان مکانیکی و یک المان ویسکوز غیرخطی، مدل اسپنسر را ارائه دادند^[18].

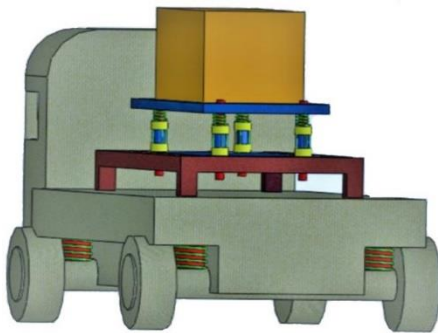
با بررسی ادبیات فن، ملاحظه گردید که تاکنون جهت جذب شوک و ارتعاشات واردۀ بر محموله‌های حساس خودروهای باری توسط دمپرهای مگنتورئولوژیکال گزارشی ارائه نشده است. لذا هدف این پژوهش، طراحی، ساخت و ارزیابی یک سیستم تعليق ثانویه نیمه فعال مجهز به دمپرهای MR جهت کاهش دامنه ارتعاشات و شوک‌های واردۀ به محموله‌های حساس می‌باشد که در قسمت بار خودروهای باری جاده‌ای قرار گرفته است.

۲- مواد و روش‌ها

۲-۱- مدل سازی

۲-۱-۱- مدل دمپر دوسر میله

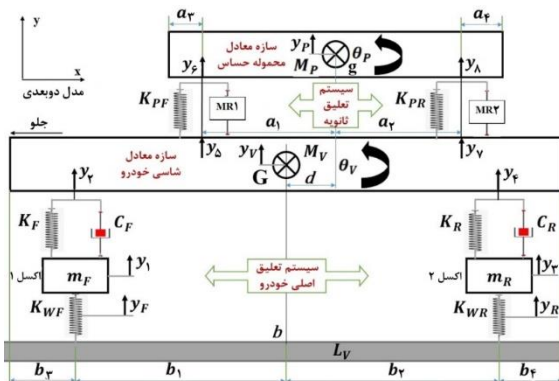
شکل ۱ شماتیک برشی از دمپر دوسر میله مگنتورئولوژیکال طراحی و ساخته شده را نشان می‌دهد. هنگامی که سیال از مجرای حلقوی با فاصله d از سیلندر عبور می‌کند، میدان مغناطیسی خارجی



شکل ۲) شماتیکی از یک کامیونت باری حاوی محموله حساس که سیستم تعليق ثانویه روی آن سوار شده

اجتناب از پیچیدگی بیشتر در حل معادلات حرکت، در این پژوهش، سیستم تعليق یک خودروی باری با محموله حساس را در حالت دو بعدی (2D-Rigid Model)، که در آن از سیستم تعليق ثانویه دمپر مگنتورئولوژیکال استفاده شده است، مطابق شکل ۳ در نظر گرفته شد. در این سیستم، سازه خودروی باری و سازه محموله حساس به صورت تیرهای صلب دارای خواص اینرسی در نظر گرفته شده اند، علاوه بر سیستم تعليق اولیه ویسکوز و سیستم تعليق ثانویه دارای دمپر مگنتورئولوژیکال، خاصیت ارجاعی لاستیکها نیز لحاظ شده است.

دیاگرام پیکره آزاد این سیستم در شکل ۴) ارائه شده است. در این شکل، y_L و θ_L به ترتیب نمایانگر جابجایی عمودی مرکز جرم بدنه و زاویه پیچ بدنه، y_P و θ_P جابجایی عمودی مرکز جرم و زاویه پیچ محموله، K_F و C_F به ترتیب ضرائب سفتی و میرایی سیستم تعليق محور جلو، m_{WF} و K_{WF} به ترتیب جرم و سفتی چرخ جلو، y_R و θ_R جابجایی مرکز جرم چرخ جلو و ارتفاع ناهمواری پیش روی چرخ جلو در هر لحظه است. همچنین k_r ، c_r ، m_{WR} ، K_{WR} و y_3 نیز کمیت های مشابه مربوط به محور عقب هستند. از طرفی K_{PF} و F_{D_1} ، K_{PR} و F_{D_2} به ترتیب ضرائب سفتی و نیروی میرایی دمپرهای مگنتورئولوژیکال قسمت های جلو و عقب سیستم تعليق ثانویه هستند که دو به دو با عملکرد موازی، محموله را به کابین حمل بار



شکل ۳) شماتیک مدل دو بعدی یک کامیونت باری با محموله حساس، مجهز به سیستم تعليق ثانویه با دمپرهای مگنتورئولوژیکال

سیال از دریچه (در امتداد کانال) ΔP_η ، افت فشار ناشی از تلفات جزئی مایع در کانال ΔP_{ml} ، و افت فشار ناشی از عبور سیال از فضای خالی روی کویل ها (به دلیل فرورفتگی) ΔP_{coil} ، که تحت اثر سرعت حرکت پیستون یا همان شوک اولیه برای حرکت، سیستم دچار افت فشار خواهد شد [۱۹-۲۲]:

$$F_V = A_p [n(\Delta P_\eta + \Delta P_{ml} + \Delta P_{coil}) + \Delta P_E] \quad (3)$$

با استفاده از روابط سیالاتی حاکم بر تخمین و پیش بینی نیروی میرایی از طریق شبیه سازی رفتار دینامیکی دمپر، از آنجا که در این پژوهش حداقل و حداقل نیروی وزن بار محموله حساس که سیستم تعليق ثانویه با ۴ عدد دمپر مگنتورئولوژیک (هر دمپر موازی با یک فنر نصب می شود) بایستی تحمل کند و عمل میرایی مناسب را در برابر ارتعاشات واردہ انجام دهد، بین ۵۰۰ الی ۱۰۰۰ کیلوگرم در نظر گرفته شده است، بنابراین ابعاد هندسی طراحی و پارامترهایی که هندسه دمپر مگنتورئولوژیکال را تعیین می کنند، برای بازه نیروی میرایی حداقل ۵۰ نیوتون در حالت ویسکوز (بدون شدت جریان الکتریکی) و حداقل نیروی میرایی ۲۵۰۰ نیوتون در شدت جریان الکتریکی ۲ آمپر، مطابق جدول ۱ تعیین گردید.

۲-۱-۲- مدل سازی ریاضی کامیونت با سیستم تعليق ثانویه

سیستم تعليق ثانویه مورد بررسی برای محموله حساس از ترکیب چهار دمپر MR و فنرهای مربوطه موازی با هر کدام از دمپرهای تشکیل گردید که این مجموعه بر زیریک فریم که محموله حساس بر روی آن قرار می گیرد، بر روی قسمت باری کامیونت نصب شد. شکل ۲) شماتیکی از یک کامیونت باری حاوی محموله حساس که سیستم تعليق ثانویه روی آن سوار شده است. با توجه به این شکل، سیستم تعليق نیمه فعال ثانویه با چهار دمپر MR در گوشه های یک صفحه صلب مستطیلی (به عنوان سازه معادل شاسی) سیستم نگه دارنده محموله حساس) حاوی محموله حساس روی شاسی خودروی باری در نظر گرفته شده است. سازه خودروی حامل بصورت صفحه صلب (به عنوان سازه معادل شاسی خودروی حامل) روی چهار فنر و دمپر معمولی ویسکوز قرار گرفته است.

با عنایت به روابط غیرخطی حاکم بر معادلات نیروی میرایی دمپرهای الکترورئولوژیک، جهت ساده سازی مدل سازی تحلیلی و

جدول ۱) ابعاد و مشخصات هندسی دمپر مگنتورئولوژیکال دوسر میله

| پارامتر | اندازه نماد (میلی متر) | اندازه نماد (میلی متر) | اندازه نماد (میلی متر) | ضخامت دریچه دمپر |
|---------|------------------------|------------------------|------------------------|--|
| ۱/۸ | d_c | ۱ | d | ضخامت فاصله کویل مگنتورئولوژیکال |
| ۱۶ | L_c | ۲۹ | L_a | طول هر کویل طول بین دو کویل |
| ۴۸ | D_p | ۵۰ | D_{in} | قطار پیستون قطر داخلی سیلندر هیدرولیک |
| ۲۵ | D_r | ۴۹ | D_b | قطر مؤثر دریچه دمپر مگنتورئولوژیکال |
| ۲۵۰ | h | n | | تعداد سیم پیچ های ارتفاع سیلندر الکترومغناطیسی |

روابط ۴ تا ۹، معادلات حرکت سیستم تعليق ثانویه دارای دمپر MR، درحال دو بعدی است. برای حل معادلات فوق درحال کلی، می توان فرم ماتریس معادلات مذکور را به صورت رابطه ۱۰ نوشت:

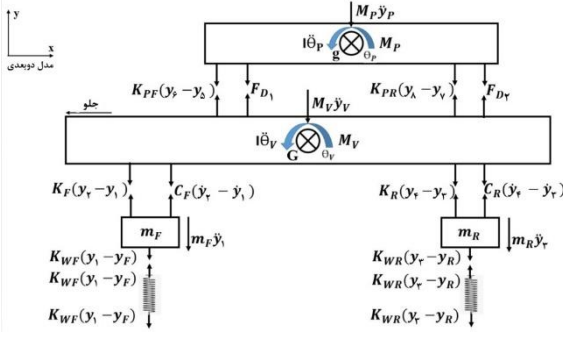
$$[M]_{6 \times 6} \{ \ddot{y} \} + [C]_{6 \times 6} \{ \dot{y} \} + [K]_{6 \times 6} \{ y \} = \{ F \} \quad (10)$$

که در آن $[M]$ ماتریس جرم، $[C]$ ماتریس میرایی و $[K]$ ماتریس سختی سیستم هستند. با درنظر گرفتن معادلات ۴ تا ۹ به صورت یک دستگاه معادلات دیفرانسیل و متغیرهای مربوطه به عنوان پاسخهای سیستمی با ورودی های y_F و y_R استخراج شدند.

جهت بررسی تاثیر نوع پروفیل جاده بر روی سطح ارتعاشات و شوک واردہ به محموله حساس، پروفیل تحریک جاده براساس استاندارد ISO8608، از نوع پروفیل سرعت گیر به منظور اعمال به مدل کامیونت حاوی سیستم تعليق ثانویه در نظر گرفته شد [۲۴].

۲-۲- طراحی و ساخت دمپرهای مگنتورئولوژیک و سیستم تعليق ثانویه و انجام تست های تجربی

۲-۱- طراحی و ساخت دمپرهای مگنتورئولوژیک دو سر میله
 اجزای دمپر MR دوسر میله شامل سیلندر، پیستون، میله پیستون، درپوشها، پکینگ، اورینگ، پیچ های میله ای و سیم مسی لاکی می باشد. جنس سیلندر و درپوشها از فولاد CK45 و جنس پیستون از آلیاژ 16MnCrV5 است. بعد از طراحی دمپر و سیستم تعليق ثانویه، جهت ساخت هریک از این اجزا، نقشه های فنی آنها با رعایت اصول، قواعد و استانداردهای نقشه کشی صنعتی، در نرم افزار کتیا (Catia) رسم گردید سپس بوسیله دستگاه های تراش CNC، فرز CNC و دستگاه سنگ زنی، قطعات مذکور ماشین کاری و ساخته شدند. پیستون و میله پیستون بوسیله سیلندر، دو عدد درپوش در طفین آن، پیچ و مهره ها، بهم اتصال پیدا می کنند و توسط پکینگ ها و اورینگ ها بترتیب از طرف درون و بیرون درپوش ها آب بندی لازم را جهت جلوگیری از نشت و خروج سیال MR از داخل سیلندر دمپر انجام می دهند. در روی پیستون سه شیار جهت سیم پیچی و ایجاد شدت میدان مغناطیسی لازم بر روی سیال مگنتورئولوژیکی ایجاد شده است. سیم پیچی هریک از شیارها در ۱۶ ردیف ۱۸ دوری با سیم مسی لاکی به قطر ۰/۸ میلیمتر که بصورت سری با هم بسته می شوند، انجام شد. به منظور برآبرسازی سطح پیستون و سیم پیچ ها جهت جلوگیری از ایجاد اغتشاش در جریان سیال هنگام عبور از فضای بین سیلندر و پیستون، اختلاف سطح موجود توسط ماده پلی استر پر شد. با عبور شدت جریان های الکتریکی مختلف از سیم پیچ ها، شدت میدان های مغناطیسی متفاوتی در روی شیارها و اطراف پیستون بوجود می آید، در نتیجه عبور سیال MR از فضای بین سیلندر و پیستون، موجب تغییر ویسکوزیته سیال از صفر تا حالت نیمه جامد شده و عمل میراکنندگی را انجام می دهد. در وسط یکی از میله های پیستون سوراخی ایجاد شده که دوسر ورودی و خروجی سیم پیچ ها را از آن عبور می دهد تا جهت استفاده از یک منبع تغذیه شدت جریان الکتریکی آماده بکار باشد. شکل ۵ اجزاء اصلی



شکل ۴) دیاگرام پیکره آزاد سیستم دو بعدی کامیونت و محموله حساس با سیستم تعليق ثانویه مگنتورئولوژیکی

خودرو مرتبط می کنند. F_{D_1} و F_{D_2} هر کدام بطور جداگانه از طریق حل دستگاه معادلات مربوطه شان محاسبه شده اند. با توجه به این شکل، معادلات اولیه حاکم بر حرکت این سیستم که دارای ۶ درجه آزادی و با درجات آزادی (y_1 , y_2 , y_3 , y_F , y_R) هستند، بر اساس قانون دوم نیوتون، بدست آمده و پس از اعمال معادلات قید مربوط به سیستم در معادلات اولیه، معادلات نهایی حاکم بر حرکت این سیستم به صورت روابط ۴ الی ۱۰ ارائه شده است.

$$-(k_{wf} + k_f)y_1 - c_f\dot{y}_1 + k_f\dot{y}_V + c_f\dot{y}_V + k_fb_1\theta_V + c_fb_1\dot{\theta}_V + k_{wf}y_1 = m_f\ddot{y}_1 \quad (4)$$

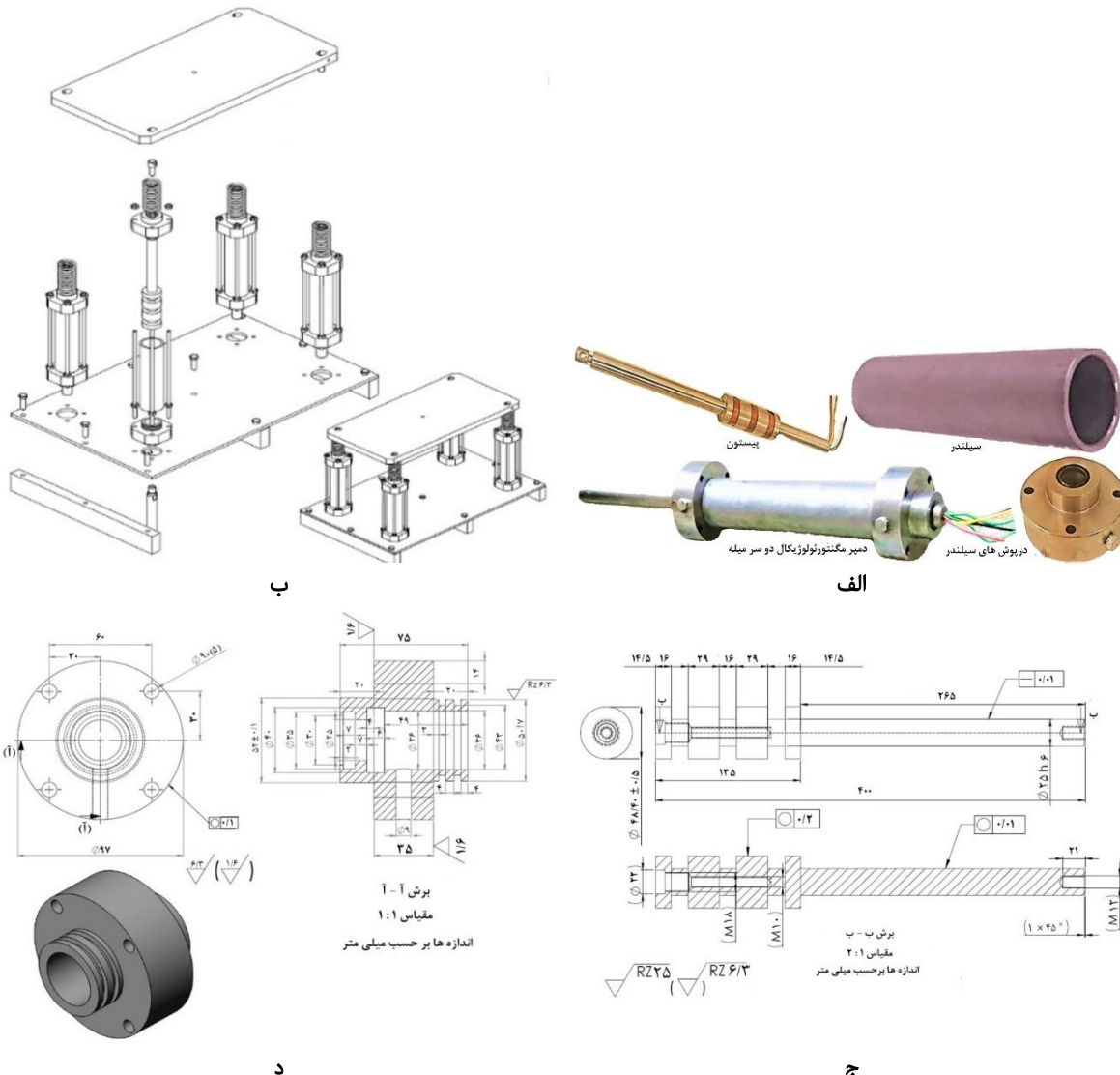
$$-(k_{wr} + k_r)y_3 - c_r\dot{y}_3 + k_r\dot{y}_V + c_r\dot{y}_V - k_rb_2\theta_V - c_rb_2\dot{\theta}_V + k_{wr}y_3 = m_r\ddot{y}_3 \quad (5)$$

$$\begin{aligned} k_fy_1 + c_f\dot{y}_1 + k_r\dot{y}_3 + c_r\dot{y}_3 - (k_f + k_r + k_{pf} + k_{pr})y_V \\ - (c_f + c_r)\dot{y}_V + (-k_fb_1 + k_rb_2 - k_{pf}(a_1 - d) \\ + k_{pr}(a_2 + d))\theta_V - (c_fb_1 - c_rb_2)\dot{\theta}_V \\ + (k_{pf} + k_{pr})y_P - (k_{pr}a_2 - k_{pf}a_1)\theta_P \\ = M_V\ddot{y}_V - F_{D_1} - F_{D_2} \end{aligned} \quad (6)$$

$$\begin{aligned} (k_{pf} + k_{pr})y_V + (k_{pf}(a_1 - d) - k_{pr}(a_2 + d))\theta_V \\ - (k_{pf} + k_{pr})y_P - (k_{pf}a_1 - k_{pr}a_2)\theta_P \\ = M_P\ddot{y}_P + F_{D_1} + F_{D_2} \end{aligned} \quad (7)$$

$$\begin{aligned} k_fb_1y_1 + c_fb_1\dot{y}_1 - k_rb_2y_3 - c_rb_2\dot{y}_3 \\ - (k_fb_1 - k_rb_2 + k_{pf}(a_1 - d) \\ - k_{pr}(a_2 + d))y_V - (c_fb_1 - c_rb_2)\dot{y}_V \\ - (k_fb_1^2 + k_rb_2^2 + k_{pf}(a_1 - d)^2 \\ + k_{pr}(a_2 + d)^2)\theta_V \\ - (c_fb_1^2 + c_rb_2^2)\dot{\theta}_V \\ + (k_{pf}(a_1 - d) - k_{pr}(a_2 + d))y_P \\ - (k_{pf}(a_1d - a_1^2) - k_{pr}(a_2d \\ + a_2^2))\theta_P \\ = I_V\ddot{\theta}_V + F_{D_1}(a_1 - d) + F_{D_2}(a_2 + d) \end{aligned} \quad (8)$$

$$\begin{aligned} (k_{pf}a_1 - k_{pr}a_2)y_V - (k_{pf}(a_1d - a_1^2) - k_{pr}(a_2^2 + a_2d))\theta_V \\ - (c_{pf}(a_1d - a_1^2) \\ - c_{pr}(a_2^2 + a_2d))\dot{\theta}_V \\ - (k_{pf}a_1 - k_{pr}a_2)y_P \\ - (k_{pf}a_1^2 + k_{pr}a_2^2)\theta_P \\ = I_P\ddot{\theta}_P - F_{D_1}a_1 + F_{D_2}a_2 \end{aligned} \quad (9)$$



شکل ۵) اجزاء اصلی دمپر MR، شامل سیلندر، پیستون، دریچه‌ها و نقشه انفجاری سیستم تعليق ثانویه و دو نمونه از نقشه‌های فنی پیستون و دریچه دمپر

در دمای ۱۰۰ درجه سانتی‌گراد، با درصد جرمی ۳۶٪، به همراه افزودنی گریس سبز پایه لیتیوم EPG (نسوز)، محصول شرکت آتروود آمریکا با ظرفیت فشار بالا، با درصد جرمی ۴٪، به منظور افزایش پایداری ذرات معلق در سیال و جلوگیری از ته نشینی آنها و بوجود آمدن توده‌های آهن استفاده شده است^[27].

۲-۲-۲-۲- تست هارمونیک دمپر مگنتورولوژیکال

به منظور بررسی رفتار دینامیکی دمپر MR، تخمین ظرفیت نیروی میرایی آن تحت شدت جریان‌های الکتریکی مختلف و استخراج پارامترهای مربوط به مدل مورد استفاده در پیش‌بینی رفتار دمپر، از مجموعه تست آزمایشگاهی شامل دستگاه تست هیدرولیکی دینامیکی (Zwick Roell Amsler HA 250) و منبع تغذیه الکتریکی جهت تأمین شدت جریان الکتریکی مورد نیاز دمپر استفاده شده است. دستگاه تست هیدرولیک مطابق شکل ۶ مجهز به سنسورهای نیرو و جابجایی و واحد کنترل هیدرولیکی است.

دمپر MR، شامل سیلندر، پیستون، دریچه‌ها و نقشه انفجاری سیستم تعليق ثانویه، متعلقات و دو نمونه از نقشه‌های فنی آن را نشان می‌دهد.

بعد از طراحی و ساخت دمپر مگنتورولوژیکال، جهت تست آن با پایستی سیال MR متناسب با حجم سیلندر آن تهیه شود. به همین منظور مطابق مطالعات انجام شده در این زمینه، جهت مشخص نمودن یک طیف مناسب از درصد حجمی ذرات تشکیل دهنده و لحاظ نمودن خواص رئولوژیکی و پایداری مناسب مذکور در منابع^[19,25,26]، دراین پژوهش، پودر آهن کربونیل کروی شکل با قطر ذرات ۴ میکرون با چگالی ۷/۸۶ گرم بر سانتی مترمکعب و خلوص ۹۹۹٪ برای فاز پراکنده سیال مگنتورولوژیک با درصد جرمی ۶۰٪ بکار برده شد. همچنین در فاز پیوسته نیز، از سیال پایه روغن هیدرولیک H68، به عنوان سیال حامل با ویسکوزیته ۶۸ سانتی استوکس در دمای ۴۰ درجه سانتی‌گراد و ۹ سانتی استوکس

بر اساس این مدل نیروی میرایی طبق رابطه ۱۱ محاسبه می‌شود^[28]:

$$F_{sp} = c_{1sp}\dot{y}_{sp} + k_{1sp}(x_{sp} - x_{0sp}) \quad (11)$$

که متغیر y_{sp} مربوط به آن از طریق معادله ۱۲ حاصل شده است^[28]:

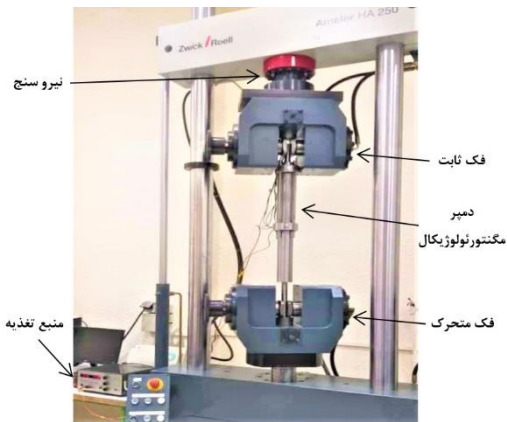
$$\dot{y}_{sp} = \frac{1}{(c_{0sp} + c_{1sp})} (\alpha_{sp}z_{sp} + c_{0sp}\dot{x}_{sp} + k_{0sp}(x_{sp} - y_{sp})) \quad (12)$$

و متغیر تکاملی z_{sp} بکاربرده شده در آن از طریق معادله ۱۳ بدست آمده است^[28].

$$\dot{z}_{sp} = -\gamma_{sp}|\dot{x}_{sp}| - \dot{y}_{sp}|z_{sp}|^{n_{sp}-1} - \beta_{sp}(\dot{x}_{sp} - \dot{y}_{sp})|z_{sp}|^{n_{sp}} + A_{sp}(\dot{x}_{sp} - \dot{y}_{sp}) \quad (13)$$

پس از کدنویسی معادلات حاکم بر مدل اسپنسر و اعمال داده‌های تجربی مربوط به جابجایی پیستون بعنوان ورودی مدل، نیروی میرایی مدل از طریق حل دستگاه معادلات حاکم، بروش رانگ کوتای مرتبه ۴ محاسبه شد و در مرحله نخست پارامترهای مدل، برابر مقادیر ارائه شده در مقاله اسپنسر^[28] لحاظ گردیدند. به جهت طراحی دمپر حاضر از نوع دوسرمیله و عدم حضور آکومولاتور در آن، در مدل سازی مربوطه مقدار پارامتر k_0 که بیانگر سفتی آکومولاتور می‌باشد برابر صفر در نظر گرفته شده است. در مرحله بعد به منظور بهینه‌سازی پارامترها، درحالی که دیگر پارامترها ثابت هستند، یکی از آنها در بازه بین صفر تا ۱۰ برابر مقدار ارائه شده در مقاله اسپنسر تغییر داده شد. طی این تغییر بدار نیروی مربوط به هر پله از تغییر ذخیره گردید. در گام بعد مراحل فوق برای دیگر پارامترها نیز تکرار شده و در هر مرحله پارامترهای پیشین بروز رسانی شدند. پس از پایان بهینه‌سازی تمامی پارامترها مراحل فوق به تعداد ۱۰ دور تکرار گردیدند. مقادیر اولیه دورهای بعدی برخلاف دور اول، نه مقادیر ارائه شده در مقاله اسپنسر بلکه مقادیر بروزرسانی شده دور قبل هستند.

۴-۲-۲-۲- طراحی و ساخت پالت دارای سیستم تعليق ثانویه
بعد از طراحی و ساخت دمپرهای و براساس مدل سازی بیان شده در بخش ۲-۱-۲، پالت مخصوص حمل محموله حساس مجهز به سیستم تعليق ثانویه دارای چهار دمپر مگنتورئولوژیک طراحی شد. هر چهار دمپر روی صفحه فلزی زیرین که با پایه‌هایی از کف جدا شده و در آن سوراخ‌هایی جهت بستن و محکم نگهداشتن دمپرهای عبور طرف سوراخ دار میله پیستون بمنظور حرکت آزادانه آنها، ایجاد شده‌اند، نصب گردیدند. در قسمت بالایی دمپرهای عمل میراکنندگی انتقال بار محموله حساس به دمپرهای و انجام عمل میراکنندگی توسط آنها، یک صفحه فلزی به طرف دیگر میله پیستون که بوسیله پیچ مخصوصی اتصال ثابت شده است، نصب گردید، در زیر صفحه فلزی بالایی چهار فنر وجود دارند و طوری طراحی شده‌اند که بتوانند از عهده نیروهای واردہ از طرف محموله حساس را تحمل نموده و قادر به بالابردن صفحه متصل به میله پیستون و درنتیجه وزنه‌هایی که روی آن قرار دارند در هنگام برگشت پیستون شوند.

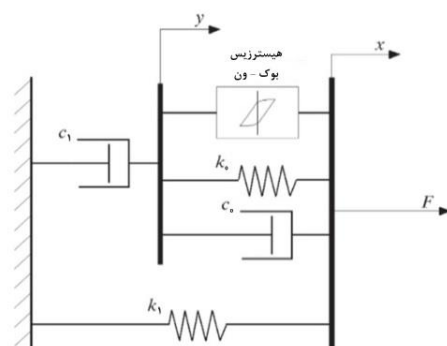


شکل ۶) مجموعه تست آزمایشگاهی تست دمپر مگنتورئولوژیک

به منظور انجام تست، دمپر مورد نظر پس از مونتاژ قطعات از سیال مگنتورئولوژیکال تهیه شده پر شد. سپس سیم پیچ‌های مربوط به دمپر از طریق سیم‌های خروجی از انتهای میله پیستون بصورت سری باهم و درنهایت به منبع تغذیه متصل شد. جابجایی هارمونیک سینوسی توسط فک متحرک بر دمپر اعمال شده و همزمان سنسورهای جابجایی سنج و نیرو سنج مربوط به دستگاه شروع به داده برداری کردند. آزمایشات بدامنه جابجایی ۵ میلی‌متر در هریک از فرکانس‌های تحریک ۰/۰۵، ۰/۱۰ و ۰/۱ هرتز تحت شدت جریان‌های الکتریکی صفر، ۰/۰۵، ۱/۰ و ۲ آمپر انجام گرفت و سپس تمامی آزمایش‌ها با دامنه جابجایی ۱۰ میلی‌متر تکرار شدند. درنهایت با استفاده ازداده‌های خروجی دستگاه، استخراج نمودارهای نیرو-زمان، نیرو-سرعت و نیرو-جابجایی در هر یک از این حالات انجام شد که نتایج مربوطه در بخش نتایج در شکل ۱۳ ارائه شده است.

۳-۲-۲-۳- فرایند شناسایی پارامترهای مدل اسپنسر برای دمپر مگنتورئولوژیکال

به منظور پیش‌بینی رفتار دینامیکی دمپرهای مگنتورئولوژیکال پس از انجام تست‌های دینامیکی، نحوه واکنش آنها به ورودی‌های مختلف شدت جریان‌های الکتریکی، فرکانس تحریک و دامنه تحریک با انتخاب مدل اسپنسر^[28] برای دمپر، مورد بررسی قرار گرفت. شکل ۷ شماتیک مدل اسپنسر را نشان می‌دهد.



شکل ۷) شماتیک مدل اسپنسر

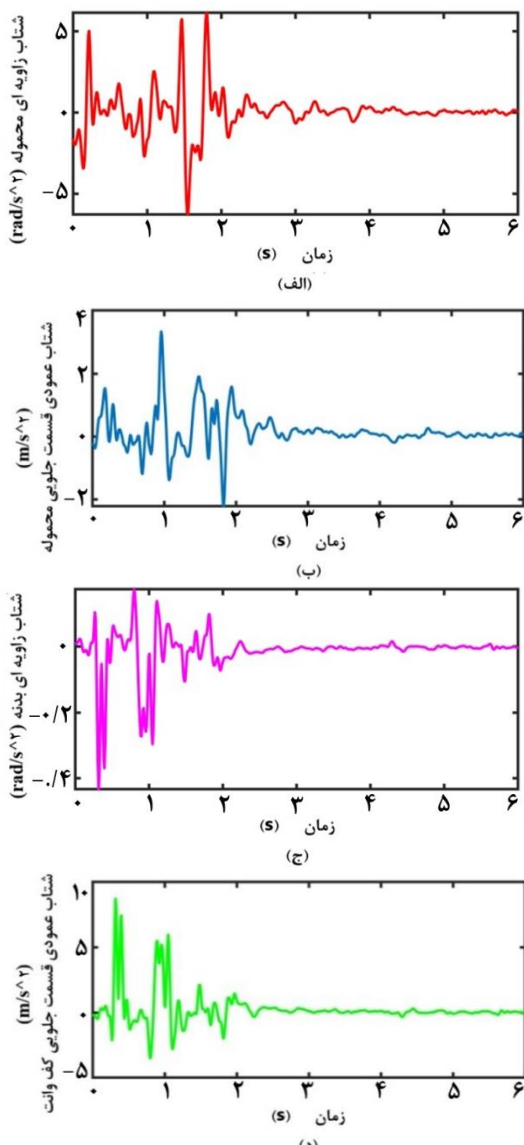
ثانویه ۱۹۳۰ کیلوگرم است. آزمایش‌های عملی فوق روی خودروی باری پیکان وانت با وجود یک سرعت‌گیر به طول ۶۰ سانتی‌متر و ارتفاع ۴ سانتی‌متر انجام گردید. مجموع تعداد آزمایش‌های انجام شده ۲۷ عدد و تعداد کل داده‌برداری‌ها از چهار نقطه از سیستم تعليق ۱۰۸ عدد است که در سه سرعت ۱۰، ۱۴ و ۱۸ کیلومتر بر ساعت و در شدت جریان‌های الکتریکی ۰، ۰/۵ و ۱ آمپر با تکرار تست‌ها در سه مرحله انجام گردید.

به عنوان مثال شکل ۱۰ سیگنال زمانی شتاب‌های زاویه‌ای محموله و بدن و همچنین شتاب‌های عمودی نقاط جلویی محموله و بدن و اندازه‌گیری شده توسط شتاب سنج‌ها، هنگام حرکت خودرو با سرعت ۱۸ کیلومتر بر ساعت و شدت جریان الکتریکی ۰/۵ آمپر را نشان می‌دهد.

بدلیل اینکه تحلیل‌های لازم بر روی این سیستم بصورت دو بعدی است بنابراین سوراخ‌های ایجاد شده در این صفحه طوری طراحی شده‌اند که امکان حرکت را فقط در دو بعد جایجایی عمودی و زاویه پیچ محدود می‌سازد. در نهایت به منظور انجام آزمایش‌های تجربی در روی قسمت باری خودرو، مجموعه این قطعات به صورت یک پارچه در روی یک شاسی فلزی نصب شدند. شکل ۸ سیستم تعلیق‌ثانویه مجهز به دمیرهای مگنتی، رولوژیکال رانشان می‌دهد.

۲-۵- انجام تست‌های عملی روی خودرو

پس از قرارگیری مجموعه سیستم تعلیق ثانویه در کابین حمل بار خودرو مطابق شکل ۹ و حصول اطمینان از ارتباط کامل بین خودرو و سیستم تعلیق ثانویه از طریق اتصال پیچی پایه مجموعه به بدنه خودرو، اقدام به تعییه سرعت‌گیرهای پلاستیکی متداول با طول ۶۰ سانتی‌متر و ارتفاع ۴ سانتی‌متر در کف آزمایشگاه گردید. درادامه سیم پیچهای مربوط به دمپرها بصورت سری بهم متصل شده و در نهایت به منبع تغذیه وصل شدند. در مرحله بعد همزمان با اعمال شدت جریان الکتریکی کنترل شده بر دمپرها، خودرو از روی ناهمواری موجود با سرعت‌های مختلف عبور داده شد. سپس سنسورهای شتاب‌سنج‌ها در چهار نقطه از سیستم که دو عدد از آنها در قسمت‌های جلو و عقب بار محموله حساس و دو عدد دیگر نیز در محل کف جلو و عقب قسمت بار که به سیستم تعلیق اولیه خودرو وصل است، جهت اندازه‌گیری مقدار شتاب محموله حساس در طول انجام آزمایش‌ها، نصب شدند. در این تست‌ها از یک خودروی باری از نوع پیکان وانت (محصول شرکت ایران خودرو) استفاده شد که بار محموله حساس را به مقدار ۵۳۵ کیلوگرم به همراه وزن سیستم تعلیق ثانویه که ۱۲۵ کیلوگرم است، حمل می‌کند. جرم کل مجموعه کامل ماشین وانت و سیستم تعلیق



شکل ۱۰ سیگنال زمانی پاسخ دینامیکی، هنگام حرکت خودرو با سرعت ۱۸ کیلومتر بر ساعت و شدت جریان الکتریکی ۰/۵ آمپر: (الف) شتاب زاویه‌ای محموله (ب) شتاب عمودی قسمت جلویی محموله (ج) شتاب زاویه‌ای بدن (د) شتاب عمودی قسمت جلویی کف وانت یکان



شکل ۸) سیستم تعلیق ثانویه مجهز به دمیرهای مگنتورئولوژیکال



شكل ۹) مجموعه خودرو و محموله حساس بهمراه سیستم تعلیق ثانویه

شدن سیال از فاز مایع به فاز نیمه جامد و به تبع آن افزایش ویسکوزیته و مقاومت کرنشی آن دربرابر تنش برشی است. همچنین با توجه به عملکرد دمپرها بر پایه ویسکوزیته سیال و تناسب بین نرخ کرنش برشی (سرعت پیستون) و نیروی میرایی، تحت هریک از شدت جریان‌های الکتریکی، بیشترین نیروی میرایی در جابجایی صفر (وسط کورس حرکتی پیستون) صورت گرفته است به این دلیل که اندازه سرعت حرکت پیستون در هنگام عبور از این نقطه بیشینه است.

۲-۳- پارامترهای شناسایی شده مدل اسپنسر

پس از وارد کدن داده‌های مربوط به جابجایی و سرعت پیستون مربوط به تستهای هارمونیک بعنوان معلومات معادلات حاکم بر مدل اسپنسر و حل معادلات ۱۱-۱۳ بروش رانگ کوتای مرتبه^۴، مقایسه نیروهای تجربی و شبیه‌سازی شده انجام گرفت. شکل ۱۲ مقایسه نیروهای میرایی دمپر تجربی و شبیه‌سازی شده در تست دمپر با شدت جریان الکتریکی ۰/۵ آمپر، فرکانس تحریک ۱ هرتز و جابجایی ۱۰ میلی‌متر را به نمایش می‌گذارد.

همانطور که مشاهده می‌گردد با تفriق سیگنال نیروی تجربی از نیروی مدل‌سازی شده، سیگنال خطأ حاصل شده است. در ادامه بمنظور مقایسه مقادیر خطأ دربرابر مقادیر نیروی تجربی، اقدام به محاسبه جذر میانگین مربعات مربوط به سیگنال نیروی تجربی و سیگنال خطأ بطور جداگانه گردید. با بررسی تغییرات خطأ نسبی RMS‌ها بر حسب تغییرات پارامتر مورد بررسی، در نقطه کمینه خطأ،

جدول ۲) بیشینه نیروی میرایی دمپر در شدت جریان الکتریکی ۲ آمپر، نسبت به حالت (۰) آمپر

| افزایش بیشینه نیروی میرایی دمپر در شدت جریان الکتریکی ۲ آمپر، نسبت به حالت (۰) آمپر | ردیف میلیمتر | جابجایی هرتز | فرکانس هرتز |
|---|--------------|--------------|-------------|
| ۱۷/۷۴۵۷ | ۱ | ۰/۲۵ | ۰/۲۵ |
| ۱۷/۹۸۰۱ | ۲ | ۰/۵ | ۰/۵ |
| ۸/۱۳۹۳۸ | ۳ | ۱ | |
| ۸/۴۵۹۵ | ۴ | ۰/۲۵ | ۰/۲۵ |
| ۸/۸۰۲۰ | ۵ | ۱۰ | ۰/۵ |
| ۸/۳۶۲۶ | ۶ | ۱ | ۰/۵ |

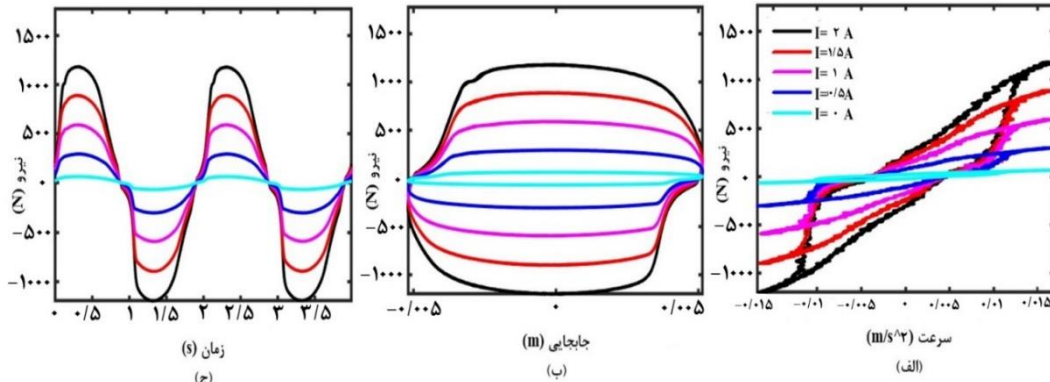
همانطور که از مقایسه شکل‌های ۱۰ (ب) و ۱۰ (د) ملاحظه می‌شود، دامنه شتاب عمودی قسمت جلویی کف خودرو از دامنه شتاب عمودی قسمت جلویی بار محموله بیشتر است. لازم به ذکر است که دامنه ارتعاشات معمولاً به محل اندازه‌گیری وابسته است و بسته به محل اندازه‌گیری در روی محموله و کف خودرو و همچنین خواص الاستیکی محموله و سازه شاسی و کف خودرو باری و همچنین فرکانس تحریک می‌تواند تغییر کند. بنابراین در حالت کلی انتظار کاهش دامنه شتاب‌های محموله نسبت به کف خودرو وجود دارد، در عین حال در روزانه‌های داخلی سیستم تعليق ثانویه ممکن است بنا به دلایل مذکور شتاب محموله به صورت محلی افزایش یابد.

۳- نتایج و تحلیل

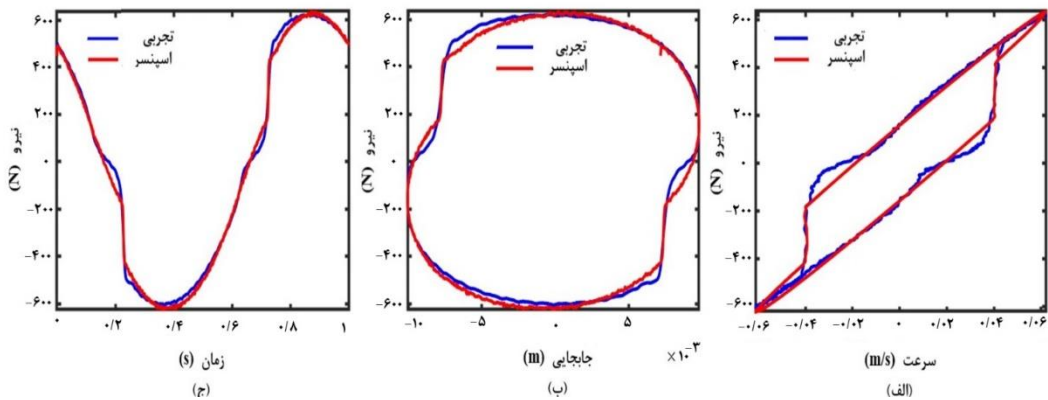
۳-۱- پاسخ دینامیکی دمپر به تست هارمونیک

به منظور بررسی تاثیر اعمال شدت جریان الکتریکی بر ظرفیت میرایی دمپر، نتایج بدست آمده از جمع آوری داده‌های مربوط به نیروی میرایی دمپر در تست هارمونیک، منجر به رسم منحنی‌های مربوط به رفتار دینامیکی آن گردید. شکل ۱۱ نمونه‌ای از منحنی‌های تجربی رفتار دمپر مگنتورئولوژیکال در تست دینامیکی با شدت جریان‌های الکتریکی مختلف، دامنه جابجایی ۵ میلیمتر و فرکانس تحریک ۰/۵ هرتز نمایش می‌دهد. همچنین نتایج حاصل از عملکرد تست‌های دینامیکی مربوط به تحریک هارمونیک بر روی دمپر، در مورد بیشینه نیروی میرایی دمپر در شدت جریان الکتریکی ۲ آمپر، نسبت به حالت (۰) آمپر، در فرکانس‌های ۰/۰۵، ۰/۰۱ و ۰/۰۰۵ هرتز و جابجایی‌های ۵ و ۱۰ میلی‌متر در جدول ۲ نشان داده شده است.

همانطور که از نتایج شکل ۱۱ و جدول ۲ ملاحظه می‌گردد، با افزایش شدت جریان الکتریکی از صفر تا ۲ آمپر، نیروی میرایی دمپر تحت سرعت‌های برابر پیستون افزایش یافته است و نتایج جدول مذکور نشان می‌دهد که بیشینه نیروی میرایی دمپر در شدت جریان الکتریکی ۲ آمپر، نسبت به حالت (۰) آمپر، بطور میانگین ۱۱/۶۲ برابر افزایش داشته است. علت این نزدیک



شکل ۱۱) منحنی‌های تجربی تست دینامیکی دمپر مگنتورئولوژیکال با شدت جریان‌های الکتریکی مختلف، دامنه جابجایی ۵ میلیمتر و فرکانس تحریک ۰/۵ هرتز: (الف) نمودار نیرو - سرعت (ب) نمودار نیرو - جابجایی (ج) نمودار نیرو - زمان



شکل ۱۲) مقایسه نیروهای میرابی دمپر تجربی و شبیه‌سازی شده در تست دمپر با شدت جریان الکتریکی 0.5 آمپر، فرکانس تحریک 1 هرتز و جابجایی 10 میلی‌متر: الف نیرو-سرعت ب نیرو-جابجایی ج نیرو-زمان

محتوای فرکانسی پاسخ مرکز جرم محموله و هم دامنه پاسخ (شتاب مرکز جرم محموله) می‌تواند به عنوان معیار به روز رسانی مورد استفاده قرار گیرد. جهت ساده سازی فرایند به روز رسانی و از آنجائیکه بیشینه شتاب ناشی از ضربه، تاثیر چشمگیری در وارد کردن آسیب‌ها به محموله‌های حساس دارد، معیار مورد استفاده در این تحقیق برای بروزرسانی مدل، کاهش خطا بین مقدار حاصل از مدل و مقادیر تجربی مربوط به بیشینه شتاب محموله است. با بررسی‌ها و تحلیل‌های حساسیت انجام گرفته بر روی تاثیر تغییرات پارامترهای مدل از قبیل سفتی تایرها (K_{WF} , K_{WR}), سفتی تعليق اصلی (K_F , K_R), میرابی تعليق اصلی (C_F , C_R) و سفتی تعليق ثانویه (K_{PF} , K_{PR}) بر پاسخ مدل در عبور از سرعت‌گیر، مشخص گردید که سیستم به تغییرات سفتی تایرها نسبت به سایر پارامترها حساسیت بیشتری نشان می‌دهد. بنابراین با تغییر سفتی تایرها (کاهش 25 درصدی سفتی تایرها نسبت به فرض اولیه) مدل تا حد بیشتری بروزرسانی شد. جدول ۴ در تایید ادعای فوق، مقادیر مربوط به بیشینه شتاب تجربی و شبیه‌سازی و خطای نسبی حاکم را نمایش می‌دهد.

پس از درنظر گرفتن تقریب عمکرد خطی فوق‌الذکر برای دمپرهای بروزرسانی مدل شش درجه آزادی موجود از طریق تغییر پارامترهای دینامیکی و بهینه‌سازی خطای بین پاسخ عددی و تجربی، جابجایی و شتاب عمودی مرکز جرم محموله، تحت شدت جریان‌های الکتریکی 0.5 و 1 آمپر به عنوان پاسخ سیستم حاصل شد. شکل ۱۳ تاثیر تغییرات شدت جریان الکتریکی اعمالی حاصل شد.

جدول ۴) مقادیر مربوط به بیشینه شتاب تجربی، شبیه‌سازی پیش و بعد از بروزرسانی و درصد خطای نسبی حاکم

| سرعت (Km/h) | مقادیر بیشینه درصد خطای شتاب در مدل بعد شتاب در مدل | مقادیر بیشینه شتاب تجربی (m/s^2) | مقادیر بیشینه از بروزرسانی (%) | | نسبی (%) |
|--------------------|--|--|--------------------------------------|--------------------------------|----------|
| | | | پیش از بروزرسانی (m/s^2) | پس از بروزرسانی (m/s^2) | |
| ۱۰ | ۳,۴۶۷۶ | ۲,۲۹۹۴ | ۲,۹۱۴۶ | ۱۵,۹۵٪ | |
| ۱۴ | ۳,۵۷۵ | ۴,۱۶۸۲ | ۳,۹۲۰۱ | ۹,۶۵٪ | |
| ۱۸ | ۳,۷۱۳ | ۵,۶۷۹۴ | ۳,۱۲۷۱ | ۱۵,۷۸٪ | |

پارامترهای بهینه شناسایی شد. این پارامترها برای شدت جریان‌های الکتریکی گوناگون دمپر، دامنه‌های 5 و 10 میلی‌متر و فرکانس‌های تحریک $0.0/25$, $0.0/5$ و 1 هرتز، محاسبه شدند. نمونه‌ای از پارامترهای شناسائی شده مدل اسپینسر دمپر مورد تست برای دامنه جابجایی 5 میلی‌متر، فرکانس تحریک 0.25 هرتز و در شدت جریان‌های مختلف، در جدول ۳ ارائه شده است.

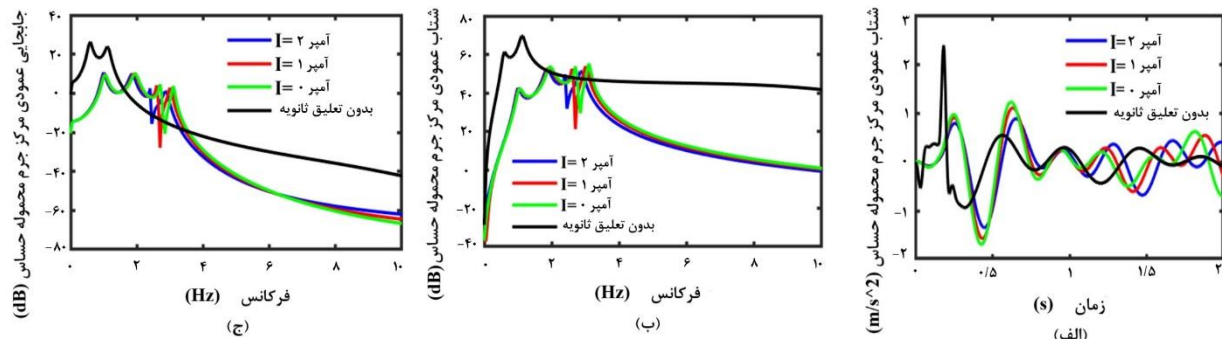
با دقت در مقادیر مربوط به خطای نسبی محاسبه شده در جدول ۳، نتیجه گرفته شد که این مقادیر بین $0.0/9$ درصد تا $5/13$ درصد متغیر بوده و با میانگینی برابر $1/494$ درصد حاکی از دقت بیشتر مدل اسپینسر در پیش‌بینی رفتار دینامیکی دمپر می‌باشد.

۳-۳- بررسی کارایی سیستم تعليق ثانویه به روش عددی

پس از مدل سازی دوبعدی مجموعه مجهز به سیستم تعليق ثانویه با دمپرهای مگنتورئولوژیکال، نظر به پیچیدگی موجود در معادلات مدل اسپینسر و بمنظور افزایش سرعت تحلیل، با تقریب نمودارهای نیرو-سرعت دمپر موجود با معادلات درجه اول، خروجی سیستم در مواجهه با پروفیل ناهمواری موجود تحت سرعت‌های 10 و 18 کیلومتر بر ساعت خودرو استخراج گردید. بعلت بالابودن سرعت حرکت دمپر در شرایط واقعی و همچنین قابلیت چشم پوشی از مقادیر کوچک نیروی دمپینگ با صرفنظر از قسمت هیسترزیس نمودار نیرو-سرعت، تقریب نمودارهای نیرو-سرعت دمپر موجود با معادلات درجه اول، بعمل آمد. در رابطه با به روزرسانی مدل، هم

جدول ۳) نمونه‌ای از پارامترهای شناسائی شده مدل اسپینسر برای دامنه جابجایی 5 میلی‌متر و فرکانس تحریک 0.25 هرتز برای دمپر مورد تست

| شدت جریان الکتریکی (A) | α [N/m] | c_0 [$N \cdot s/m$] | k_0 [N/m] | c_1 [$N \cdot s/m$] | k_1 [N/m] | γ [m^{-2}] | β | A [m] | x_0 [m] | E_{RMSs} (%) |
|------------------------------|-----------------------|----------------------------|--------------------|----------------------------|--------------------|--------------------------|---------|----------------|------------------|-------------------|
| . | ۹۰۰ | ۴۱۰۰ | ۰ | ۹۳۰۰۰ | ۰ | ۱۰۰۰ | ۴۲۰۰۰ | ۷۶ | ۰/۷۴ | |
| ۰/۵ | ۱۶۴۰۰ | ۵۳۰۰۰ | ۰ | ۲۶۵۰۰ | ۴۸۷۰ | ۰ | ۲۵۴۰۰۰ | ۱۸۳ | ۰/۰۹۳ | |
| ۱ | ۴۰۱۰۰ | ۱۵۴۰۰ | ۰ | ۴۸۹۰۰ | ۴۳۰ | ۹۰۰۰ | ۲۹۰۰۰ | ۱۳۷ | ۰/۰۹ | |
| ۱/۵ | ۷۰۲۰۰ | ۲۰۹۰۰ | ۰ | ۷۲۹۰۰ | ۵۴۰۰ | ۱۸۵۰۰۰ | ۱۹۷۰۰۰ | ۹۳۰ | ۰/۰۱ | ۰/۵۸ |
| ۲ | ۳۲۸۵۰۰ | ۵۳۰۰۰ | ۰ | ۹۳۰۰۰ | ۰ | ۲۱۵۰۰۰ | ۲۰۷ | ۰ | ۵/۱۳ | |



شکل ۱۳) تاثیر تغییرات شدت جریان الکتریکی اعمالی بر دمپرها در پاسخ دینامیکی سیستم شبیه سازی شده در مواجهه با پروفیل سرعت‌گیر (الف) شتاب عمودی مرکز جرم محموله حساس در سرعت ۶۰ کیلومتربرساعت، (ب) شتاب عمودی مرکز جرم محموله (ج) جابجایی عمودی مرکز جرم محموله

مراتب بالاتر از فرکانس‌های تشیدد داخلی، کاهش ملاحظه‌ای پیدا می‌کند. جدول ۵ بیشینه شتاب عمودی مرکز جرم محموله و درصد کاهش آن را نسبت به حالت بدون سیستم تعليق ثانویه، در شدت جریان‌های الکتریکی مختلف نشان می‌دهد.

۴-۳- بررسی کارایی سیستم تعليق ثانویه به روش تجربی
پس از انجام آزمایشات تجربی و با توجه به قیود هندسی موجود، سیگنال‌های مربوط به شتاب مرکز جرم محموله و مرکز جرم خودرو با استفاده از داده‌های شتاب سنج‌ها استخراج شدند. در ادامه فرکانس‌های بالاتر از ۲۰ هرتز این سیگنال‌ها جهت حذف نوبیه‌های نامطلوب ناشی از منابعی نظیر ارتعاشات موتور و سیستم انتقال قدرت و ناهمواری‌های ریز مسیر، فیلتر گردیدند. هم محتوای فرکانسی و هم دامنه شتابها و جابجایی‌های محموله در وارد شدن آسیب‌ها به محموله حساس اهمیت زیادی دارند لذا، در جدول ۶ اقدام به بررسی میزان تاثیر شدت جریان الکتریکی اعمالی به دمپرها در کاهش بیشینه شتاب وارد به محموله شده است. همچنین با توجه به گراف‌های پاسخ فرکانسی ارائه شده در شکل ۱۳ (ب) و ۱۳ (ج) مشاهده می‌شود که در محدوده فرکانسی ۱/۵ تا ۴ هرتز با افزایش شدت جریان الکتریکی میرایی سیستم افزایش یافته و ضمن کاهش دامنه شتاب و جابجایی، فرکانس‌های تشیدد به سمت چپ انتقال یافته‌اند.

شکل ۱۴ مختصات شتاب-زمان حاصل از نتایج تجربی تست صورت گرفته در حرکت خودرو با سرعت ۱۴ کیلومتر برساعت را نمایش می‌دهد.

جدول ۵) بیشینه شتاب عمودی مرکز جرم و درصد کاهش آن نسبت به حالت بدون سیستم تعليق ثانویه در شدت جریان‌های الکتریکی مختلف

| درصد کاهش بیشینه شتاب | بیشینه شتاب عمودی مرکز جریان الکتریکی | شدت جریان عمودی مرکز جرم محموله نسبت به حالت بدون دمپر (%) | جهنم محدوده (متربیم‌جذورنایی) |
|-----------------------|---------------------------------------|--|-------------------------------|
| بدون دمپر | ۲/۳۸۹۳ | - | - |
| . | ۱/۶۹۲۹ | %۶۹/۱۵ | |
| ۱ | ۱/۵۷۰۶ | %۳۴/۲۷ | |
| ۲ | ۱/۳۴۷۶ | %۴۳/۶۰ | |

بر دمپرها در پاسخ دینامیکی سیستم شبیه سازی شده و کاهش دامنه جابجایی و شتاب مرکز جرم محموله حساس در سرعت ۶۰ کیلومتربرساعت در عبور خودرو از پروفیل سرعت‌گیر نیم موج سینوسی با مشخصات به ارتفاع ۴ سانتی‌متر و طول ۶۰ سانتی‌متر را نمایش می‌دهد. همانطوری که ملاحظه می‌گردد شکل ۱۳ (الف) پاسخ زمانی شتاب و شکل‌های ۱۳ (ب) و ۱۳ (ج) به ترتیب پاسخ‌های فرکانسی شتاب عمودی محموله و جابجایی عمودی محموله می‌باشند که با اعمال تبدیل فوریه بر روی پاسخ زمانی بدست آمده و به فرمت دسی بل (dB) ترسیم شده است. در ترسیم شکل‌های ۱۳ (ب) و ۱۳ (ج)، شتاب و جابجایی مرجع به ترتیب برابر 10^{-6} متربرمجدورثانیه و 10^{-6} متر در نظر گرفته شده و تبدیل فوریه نیز بر روی پاسخ زمانی تا ۵۰۰ هرتز انجام گردیده است. با توجه به اینکه درجهات آزادی مدل محدود می‌باشد (۶ درجه آزادی) و مشخصات فرض شده برای مدل مورد تحلیل طوری بوده است که فرکانس‌های طبیعی سیستم دارای مقادیر کمتر از ۴ هرتز می‌باشند، لذا برای تحریک‌هایی نظیر عبور از سرعت‌گیر که شبه ضربه بوده و اکثر فرکانس‌هایی تشیدد سیستم را تحریک می‌کند، قله‌های فرکانسی خارج از این محدوده وجود نخواهد داشت.

همانگونه که مشاهده می‌شود علاوه بر تاثیر مثبت حضور سیستم تعليق ثانویه به عنوان حائل میان میان محموله و بدنه خودرو با افزایش شدت جریان الکتریکی، شدت میدان مغناطیسی سیم پیچ‌ها و در نتیجه نیروی میرایی، افزایش و بیشینه دامنه شتاب کاهش می‌یابد. علت این امر تغییر فاز سیال MR از مایع به نیمه- جامد بر اثر افزایش شدت میدان مغناطیسی موثر بر آن می‌باشد. همچنین در شکل‌های ۱۳ (ب) و (ج) ملاحظه می‌شود که در بعضی از فرکانس‌ها دامنه بالاتر از حالتی است که در سیستم تعليق وجود دارد. علت این امر این است که وجود سیستم تعليق ثانویه موجب ظهور فرکانس‌هایی تشیدد داخلی در سیستم شده و در فرکانس‌های نزدیک به این فرکانس‌هایی تشیدد داخلی، دامنه به صورت محلی نسبت به حالت بدون سیستم تعليق ثانویه افزایش می‌یابد ولی دامنه فرکانس اصلی سیستم و همچنین دامنه فرکانس‌های به

۳- نتایج حاصل از شبیه‌سازی نشان داد که با اعمال شدت جریان الکتریکی ۲ آمپر بر دمپرها، بیشینه شتاب عمودی وارد به مرکز جرم محموله حساس در عبور از دست‌انداز نسبت به حالت بدون سیستم تعليق ثانویه، $\frac{4}{60}$ % (۱/۰۴ متربرمذوثرثانیه) کاهش یافته است.

۴- نتایج تست‌های تجربی صورت گرفته نشان داد که با افزایش شدت جریان الکتریکی دمپرها از ۰ تا ۲ آمپر، بیشینه شتاب عمودی وارد به مرکز جرم محموله حساس در عبور از دست‌انداز، $\frac{32}{43}$ % (۱/۷۲ متربرمذوثرثانیه) کاهش یافته است.

تشکر و قدردانی: اینکار تحقیقاتی در آزمایشگاه تحقیقاتی سازه‌های هوشمند و وفق‌پذیر و آزمایشگاه مقاومت مصالح دانشکده مهندسی مکانیک دانشگاه انجام شده است. نهایت تشکر را از کارشناس آزمایشگاه، آقای مهندس کریمانی داریم.

تاییدیه اخلاقی: تعهد رعایت اخلاق نشر، واگذاری حقوق مادی، افسای تعارض منافع توسط نویسندهان تکمیل شده و مورد بررسی قرار گرفته است.

تعارض منافع: نویسندهان هیچ‌گونه تعارض منافعی نسبت به این کار تحقیقاتی ندارند.

سهم نویسندهان: سید صمد صمدانی اقدم (نویسنده اول)، نگارنده متن مقاله/ پژوهشگر اصلی/ تحلیلگر آماری (۴۰٪): کمال جهانی (نویسنده دوم)، روش شناس/ پژوهشگر کمکی (۴۰٪)، محمدرضا شبگرد (نویسنده سوم) پژوهشگر کمکی (۲۰٪).

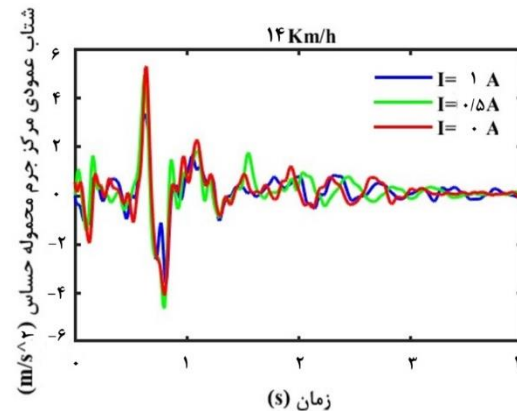
منابع مالی: منابع مالی اینکار تحقیقاتی بر عهده دانشگاه تبریز و پژوهشگر اصلی بوده است.

منابع

- 1- Odenbach S, Borin D. Electrorheological fluids and magnetorheological suspensions. Journal of Physics: Condensed Matter. 2010;22(32):320301.
- 2- Ekberg C, Hansson E. Design and simulation of active and semi-active cab suspensions with focus to improve ride comfort of a heavy truck (Master's thesis), 2015.
- 3- Chu ML, Doyle GR. Nondeterministic analysis of a four-wheeled model vehicle traversing a simulated random terrain. SAE Technical Paper; 1978.
- 4- Fischer D, Börner M, Isermann R. Control of mechatronic semi-active vehicle suspensions. IFAC Proceedings Volumes. 2002;35(2):209-14.
- 5- Hua D, Liu X, Li Z, Fracz P, Hnydiuk-Stefan A, Li Z. A Review on Structural Configurations of Magnetorheological Fluid Based Devices Reported in 2018-2020. Frontiers in Materials. 2021;8:24.
- 6- Seid S, Chandramohan S, Sujatha S. Design and Evaluation of a Magnetorheological Damper based Prosthetic knee. International Journal of Engineering. 2019;32(1):146-52.
- 7- Marcu FM. Semiactive cab suspension control for semitruck applications (Doctoral dissertation, Virginia Tech), 2009.
- 8- Chae HD, Choi SB. A new vibration isolation bed stage with magnetorheological dampers for ambulance

جدول ۶) بیشینه شتاب وارد به محموله حساس در شدت جریان‌های الکتریکی مختلف

| درصد کاهش شتاب محموله نسبت شتاب بیشینه محموله الکتریکی (A) | شدت جریان (m/s ²) | به صفر آمپر (%) | شدت جریان های الکتریکی مختلف |
|---|----------------------------------|-----------------|---------------------------------|
| . | ۵۱۹۰.۸ | % | |
| ۰/۵ | ۴۶۱۹۳ | %۱۲،۶۹ | |
| ۱ | ۳۵۷۵ | %۳۲/۴۳ | |



شکل ۱۴) پاسخ زمانی شتاب عمودی مرکز جرم محموله حساس، حاصل از نتایج تجربی تست صورت گرفته در حرکت خودرو با سرعت ۱۴ کیلومتر بر ساعت

همانطور که ملاحظه می‌گردد مطابق نتایج شکل ۱۴ و جدول ۶، در تست تجربی نیز مشابه حالت شبیه‌سازی شده، با افزایش شدت جریان الکتریکی و عبور سیال MR از فاز مایع به نیمه جامد، بیشینه شتاب وارد به محموله کاهش یافته است که مovid تاثیر مثبت حضور سیستم تعليق ثانویه مجهز به دمپرهای مگنتورئولوژیکال در کاهش آسیب‌های وارد به محموله حساس است.

۴- جمع‌بندی و نتیجه‌گیری

جمع‌بندی نتایج حاصل از توسعه یک سیستم تعليق ثانویه نیمه فعال مجهز به دمپرهای مگنتورئولوژیکال، جهت کاربرد ایزولاسیون محموله‌های حساس در برابر بارهای وارد از ناهمواریهای جاده و کاهش دامنه ارتعاشات در خودروهای باری، به شرح زیر خلاصه می‌گردد:

- ۱- پس از انجام تست‌های دینامیکی مربوط به تحریک هارمونیک بر روی دمپر، نتایج بدست آمده از عملکرد آن نشان داد که با افزایش شدت جریان الکتریکی از صفر تا ۲ آمپر، مقادیر بیشینه نیروی میرایی دمپر نیز افزایش یافته و بیشینه نیروهای میرایی دمپر در شدت جریان الکتریکی ۲ آمپر، بطور میانگین افزایش ۱۱/۶۲ برابری نسبت به حالت (۰) آمپر، داشته است.
- ۲- نتایج نیروی حاصل از مدل اسپینسر در پیش‌بینی رفتار دینامیکی دمپر با خطای نسبی میانگین $\frac{1}{4}۹۰$ ٪، نسبت به نیروی حاصل از تست تجربی بدست آمد.

- 23- White FM. Fluid mechanics. 2nd Edition, New York: Mc Graw Hill Book Company, Blacklick, 1986.
- 24- Agostinacchio M, Ciampa D, Olita S. The vibrations induced by surface irregularities in road pavements-a Matlab® approach. European Transport Research Review. 2014;6(3):267-75.
- 25- Adibi H, Yarali E, RamezanShams A. Design, fabricate and testing the novel Magnetorheologic damper involving stabilizer nanoparticles of silicone. Modares Mechanical Engineering. 2017;17(8):252-8.
- 26- Wang DH, Liao WH. Magnetorheological fluid dampers: a review of parametric modelling. Smart materials and structures. 2011;20(2):023001.
- 27- Mousazadeh M, Jahani K, Abdollahi M. Identification of Parameters of Spencer Model for a Double-Ended Magnetorheological Damper with Different Spherical Iron Carbonyl Powder Sizes. Modares Mechanical Engineering. 2019;19(5):1307-17.
- 28- Spencer Jr B, Dyke SJ, Sain MK, Carlson J. Phenomenological model for magnetorheological dampers. Journal of engineering mechanics. 1997;123(3):230-8.
- vehicles. Smart Materials and Structures. 2014;24(1):017001.
- 9- Ahmadian M, Poynor JC. An evaluation of magneto rheological dampers for controlling gun recoil dynamics. Shock and Vibration. 2001;8(3, 4):147-55.
- 10- Sun SS, Ning DH, Yang J, Du H, Zhang SW, Li WH. A seat suspension with a rotary magnetorheological damper for heavy duty vehicles. Smart Materials and Structures. 2016;25(10):105032.
- 11- Mao M, Hu W, Choi YT, Wereley NM. A magnetorheological damper with bifold valves for shock and vibration mitigation. Journal of Intelligent Material Systems and Structures. 2007;18(12):1227-32.
- 12- Wang Q, Ahmadian M, Chen Z. A novel double-piston magnetorheological damper for space truss structures vibration suppression. Shock and Vibration. 2014;2014.
- 13- Xu ZD, Jia DH, Zhang XC. Performance tests and mathematical model considering magnetic saturation for magnetorheological damper. Journal of Intelligent Material Systems and Structures. 2012;23(12):1331-49.
- 14- Lau YK, Liao WH. Design and analysis of magnetorheological dampers for train suspension. Proceedings of the Institution of Mechanical Engineers, Part F: Journal of Rail and Rapid Transit. 2005;219(4):261-76.
- 15- Rodríguez A, Pozo F, Bahar A, Acho L, Vidal Y, Rodellar J. Force-derivative feedback semi-active control of base-isolated buildings using large-scale MR fluid dampers. Structural Control and Health Monitoring. 2012;19(1):120-45.
- 16- Sun Q, Zhang L, Zhou J, Shi Q. Experimental study of the semi-active control of building structures using the shaking table. Earthquake engineering & structural dynamics. 2003;32(15):2353-76.
- 17- Kwok NM, Ha QP, Nguyen MT, Li J, Samali B. Bouc-Wen model parameter identification for a MR fluid damper using computationally efficient GA. ISA transactions. 2007;46(2):167-79.
- 18- Kamble VG, Kolekar S, Madivalar C. Preparation of magnetorheological fluids using different carriers and detailed study on their properties. American Journal of Nanotechnology. 2015;6(1):7.
- 19- Mousazadeh M, Jahani K, Samadani Aghdam SS. Experimental Study of the Effects of Iron Particles Size on Damping Force and Energy Dissipation of a Double-Ended Magnetorheological Damper. Modares Mechanical Engineering. 2019;19(9):2129-38.
- 20- Singh HJ, Wereley NM. Optimal control of gun recoil in direct fire using magnetorheological absorbers. Smart materials and Structures. 2014;23(5):055009.
- 21- Mao M, Hu W, Choi YT, Wereley NM, Browne AL, Ulicny J. Experimental validation of a magnetorheological energy absorber design analysis. Journal of Intelligent Material Systems and Structures. 2014;25(3):352-63.
- 22- Yu M, Liao CR, Chen WM, Huang SL. Study on MR semi-active suspension system and its road testing. Journal of intelligent material systems and structures. 2006;17(8-9):801-6.